

**МЕХАНИЧЕСКИЕ ХАРАКТЕРИСТИКИ VT1-0 И СПЛАВА Zr-1 МАС.% Nb В РАЗЛИЧНЫХ
СТРУКТУРНЫХ СОСТОЯНИЯХ В РЕЖИМЕ ГИГАЦИКЛОВОЙ УСТАЛОСТИ**

А.М. Майрамбекова¹, М.В. Банников², А.С. Грибкова³

Научный руководитель: профессор, д.ф.м.н. Ю.П. Шаркеев⁴

¹Национальный исследовательский Томский государственный университет,

Россия, г. Томск, пр. Ленина, 36, 634050

²Институт механики сплошных сред УрО РАН, Россия,

г. Пермь, ул. Акад. Королева, 1, 614013

³Национальный исследовательский Томский политехнический университет,

Россия, г. Томск, пр. Ленина, 30, 634050

⁴Институт физики прочности и материаловедения СО РАН,

Россия, г. Томск, пр. Академический, 2/4, 634055

E-mail: aikol@ispms.tsc.ru

**MECHANICAL CHARACTERISTICS OF VT1-0 AND Zr-1 WT.% Nb ALLOY IN DIFFERENT
STRUCTURAL STATES DURING GIGACYCLE FATIGUE**

A.M. Mairambekova¹, M.V. Bannikov², A.S. Gribkova³

Scientific Supervisor: Prof., Dr. Yu.P. Sharkeev⁴

¹National research Tomsk State University, Russia, Tomsk, Lenin str., 36, 634050

²Institute of Continuous Media Mechanics UB RAS, Russia, Perm, av. Acad. Korolev. 614013

³ National research Tomsk Polytechnic University, Russia, Tomsk, Lenin str., 30, 634050

⁴Institute of Strength Physics and Materials Science SB RAS, Russia, Tomsk, pr. Akademicheskii, 2/4, 634055

E-mail: aikol@ispms.tsc.ru

Abstract. *In the present study, we performed the microstructural feature and fatigue failure of technically pure titanium VT1-0 and Zr-1 wt.% Nb alloys in different structural states in the gigacycle fatigue regime. Specimens were loaded using a resonance fatigue machine Shimadzu USF-2000 in gigacycle regime. It was shown that the formed ultrafine-grained structure provides high mechanical properties of the alloys and affects the fatigue life. It was found that the formation of the ultra-fine grained structure in VT1-0 and Zr-1 wt. % Nb alloys leads to an increase in the fatigue limit of titanium by 1.3 times and the zirconium alloy by 1.7 times in the gigacyclic region (10^9 cycles) when compared to the fine-grained and coarse-grained states. Analysis of fracture surface morphology has revealed the fractured structure in coarse-grained and ultrafine-grained VT1-0 and Zr-1 wt.% Nb alloy samples. Fractures in ultrafine-grained VT1-0 and Zr-1 wt. % Nb alloy samples exhibit quasi-brittle pattern.*

Введение. На сегодняшний день прогнозирования долговечности и разработка методов повышения конструкционных материалов в технике и медицине является важнейшей фундаментальной задачей для различных областей приложений. Одним из наиболее перспективных материалов в медицине являются титан марок VT1-0, VT1-00, Grade 1-4, в том числе титановые β -сплавы, безванадиевые сплавы и Zr-1Nb, Zr-2,5Nb сплавы и др. Они обладают комплексом физико-механических, коррозионностойких и биологических свойств. Широкое применение находят в качестве конструкционных материалов в

атомной энергетике, а также в стоматологии и ортопедическом протезировании. Известно, что методы интенсивной пластической деформации (ИПД), формируя наноструктурной (НС) и/или ультрамелкозернистой (УМЗ) структуры, значительно повышают пределы текучести и прочности, твердость и микротвердость, предел выносливости и циклическую долговечность. В настоящее время актуальными являются исследования, посвященные влиянию НС/УМЗ состояния на процессы разрушения материалов при циклических нагрузках в широком диапазоне количества циклов не только в 10^6 циклов нагружения, но и 10^9 циклов и более [1].

Целью настоящей работы является исследование механических характеристик ВТ1-0 и сплава Zr-1 мас.% Nb в различных структурных состояниях в режиме гигацикловой усталости.

Экспериментальная часть. Объектом исследования является титан ВТ1-0 и сплав Zr-1% мас. Nb (Zr-1Nb). УМЗ структуру в исследуемых материалах формировали комбинированным двухэтапным методом ИПД, который включал многократное абс-прессование и многоходовую прокатку в ручьевых валках с последующим отжигом [2]. Микроструктуру, фазовый состав и морфологии поверхности разрушения исследовали с помощью оптической, просвечивающей электронной и растровой микроскопии. Результаты были получены на приборе Carl Zeiss Axio Observer, JEOL JEM 2100 и LEO EVO 50 в ЦКП «НАНОТЕХ» ИФПМ СО РАН (ЦКП ТНЦ СО РАН). Испытания на гигацикловую усталость проводили на ультразвуковой резонансной нагружающей машине Shimadzu USF-2000 с частотой циклических колебаний 20 кГц с коэффициентом асимметрии цикла $R = -1$ [1,3]. Исходное КК и МЗ состояния были получены за счет рекристаллизационных отжигов. Из заготовок ВТ1-0 и сплава Zr-1Nb в УМЗ, КК и МЗ состояниях были изготовлены образцы для усталостных испытаний в виде цилиндрических лопаток. Геометрические размеры лопаток были определены по аналитическим формулам, в зависимости от плотности исследуемого материала и его динамического модуля Юнга [1].

Результаты. В таблице 1 представлены механические характеристики исследуемых сплавов в исходном и после комбинированного двухэтапного метода ИПД в УМЗ состоянии.

Таблица 1

Механические характеристики ВТ1-0 и сплава Zr-1 мас. %Nb

Материал	d , мкм	σ_B , МПа	$\sigma_{0,2}$, МПа	δ , %
ВТ1-0 (КК состояние)	25	400	240	23
ВТ1-0 (УМЗ состояние)	0,2	1000	700	7
Zr-1Nb (МЗ состояние)	1,9	390	230	26
Zr-1Nb (УМЗ состояние)	0,22	780	450	12

На рисунке 1 показаны результаты усталостных испытаний ВТ1-0 и сплава Zr-1Nb для различных структурных состояний. При амплитуде циклических напряжений 175 МПа образец титана в КК состоянии разрушился после 10^5 циклов. Переход от КК структуры к УМЗ структуре значительно повышает выносливость ВТ1-0 в области гигацикловой усталости. Предел выносливости ВТ1-0 в КК состоянии на базе испытаний 10^9 циклов составил 155 МПа, а в УМЗ состоянии 200 МПа, что выше в 1,3 раза. Сплав Zr-1Nb в МЗ состоянии разрушился на базе 10^4 циклов при $\sigma=160$ МПа. Образец УМЗ сплава Zr-1Nb число циклов нагружения до разрушения составил $1,5 \times 10^9$ циклов при $\sigma=170$ МПа. Для МЗ сплава циркония предел выносливости на базе 10^9 составил 100 МПа, а для УМЗ состояния в 1,7 раза выше – 170 МПа.

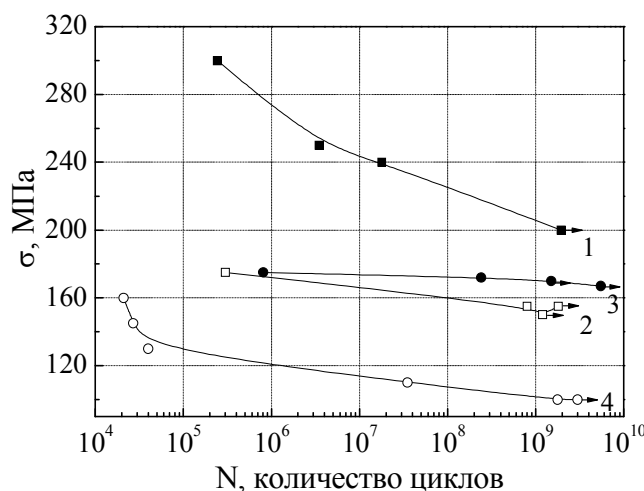


Рис. 1. Зависимость числа циклов до разрушения (N) от напряжения (σ) для образцов в различных состояниях: ■ – титан в УМЗ состоянии, кривая 1; □ – титан в КК состоянии, кривая 2; ● – сплав циркония в УМЗ состоянии, кривая 3; ○ – сплав циркония в МЗ состоянии, кривая 4

Выполнено исследование поверхности разрушения излома образцов ВТ1-0 и сплава Zr-1Nb в различных структурных состояниях. Показано три типичные зоны разрушения. Это зона зарождения трещины, зона ускоренного роста трещины и зона долома. По мере удаления от очага зарождения трещины происходит увеличение шероховатости поверхности исследуемых сплавов в УМЗ состоянии. Наблюдается формирование гладких фрагментов и «язычков» отрыва с областями «ямочного» излома и вторичные трещины. Показано, что разрушение образцов имеет квазихрупкий характер.

Заключение. Комбинированный двухэтапный метод ИПД, который включает многократное абс-прессование и многоходовую прокатку в ручьевых валках с последующим отжигом, формируя ультрамелкозернистую структуру, приводит к увеличению предела усталости титана в 1,3 раза, а сплава циркония в 1,7 раза в области гигацикловой усталости при количестве циклов не менее 10^9 . Установлено, что для ВТ1-0 и сплава Zr-1Nb в КК и УМЗ состоянии наблюдаются качественно аналогичные признаки морфологии поверхности разрушения. Разрушение образцов имеет квазихрупкий характер.

Работа выполнена в рамках Программ фундаментальных научных исследований государственных академий наук на 2017–2020 годы, Программа Ш.23.2., проект № 23.2.

СПИСОК ЛИТЕРАТУРЫ

1. Bathias C., Paris P.C. Gigacycle Fatigue in Mechanical Practice. – Dekker Publisher Co. 2005. – 328 p.
2. Sharkeev Yu.P., Eroshenko A.Yu. and et. al. Microstructure and Mechanical Properties of Nanostructured and Ultrafine-Grained Titanium and the Zirconium Formed by the Method of Severe Plastic Deformation // Russian Physics Journal. – 2014. – Vol. 56. – P. 1156–1162.
3. Bannikov M.V., Naimark O.B., Oborin V.A. Experimental investigation of crack initiation and propagation in high- and gigacycle fatigue in titanium alloys by study of morphology of fracture // Fratturaed Integrità Strutturale. – 2016. Vol. 35, – P. 50–56.